

# Model časového vývoja čiarových spektier erupcie za predpokladu power distribúcie

E. Dzifčáková, KAFZM, FMFI UK, Bratislava, dzifcakova @fmph.uniba.sk  
A. Kulinová, KAFZM, FMFI UK, Bratislava, kulinova @fmph.uniba.sk

## Abstrakt

**V tejto práci sme modelovali časový vývoj čiarového spektra (v röntgenovej oblasti) počas impulznej fázy erupcie.** Za predpokladu netermálnej distribúcie elektrónov (power distribúcie) sme spočítali niekoľko teoretických modelov, ktoré sa líšili časovým vývojom tvaru distribúcie, teploty plazmy a elektrónovej hustoty. Zistili sme, že výsledný charakter spektra závisí najmä na (pseudo-)teplote a tvare distribučnej funkcie elektrónov.

## 1. ÚVOD

Netermálna distribučná funkcia elektrónov s užším a vyšším maximom ako má termálne Maxwellovo rozdelenie sa môže vyskytnúť v nízkohustotnej plazme, keď je energia dodávaná do chvostu distribúcie s oveľa väčšou rýchlosťou, akou prebieha proces termalizácie. Prítomnosť magnetického poľa podporuje vznik netermálnej distribúcie, pretože zabraňuje termalizačnému procesu. Takéto podmienky sú splnené v koronálnej plazme počas impulznej fázy erupcie.

Seely, Feldman a Doschek (1987) študovali časový vývoj relatívneho pomera intenzít rezonančnej čiary  $Fe\ XXV\ 1.85046\ \text{\AA}$  a satelitných čiar  $Fe\ XXIV\ d\ 1.86598\ \text{\AA}$  a  $1.85349\ \text{\AA}$  pozorovaných družicou SOLFLEX. Ukázali, že pozorovania sa dajú vysvetliť pomocou výskytu netermálnej distribúcie elektrónov počas impulznej fázy erupcie. Použili parametrizovaný tvar netermálnej distribučnej funkcie elektrónov a na diagnostikovanie parametrov tejto distribúcie použili techniku, ktorú vyvinuli Gabriel a Phillips (1979). Ukázalo sa, že netermálna distribučná funkcia sa objavuje spolu s emisiou tvrdého röntgenu v erupčnej plazme. Seely, Feldman a Doschek (1987) študovali časovú závislosť parametrov distribúcie v troch erupciách.

V tejto práci sme modelovali typické syntetické čiarové spektrum erupcie za predpokladu rovnakého typu netermálnej distribúcie a hľadali sme zmeny v spektri, ktoré vzniknú v dôsledku zmien tvaru distribučnej funkcie elektrónov. Časovú závislosť parametrov power distribúcie sme prebrali

z práce Seely, Feldmann a Doschek (1987). Priebeh elektrónovej hustoty  $n_e$  a strednej energie elektrónov sme prevzali z práce Kato a kol. (2000). Predpokladali sme, že netermálna distribúcia sa vyskytuje počas tvrdej röntgenovej emisie, a potom sa rýchlo mení na maxwellovskú. Na výpočet spektier sme použili vlastné programy spolu s databázou a softvérom CHIANTI.

## 2. POWER DISTRIBÚCIA

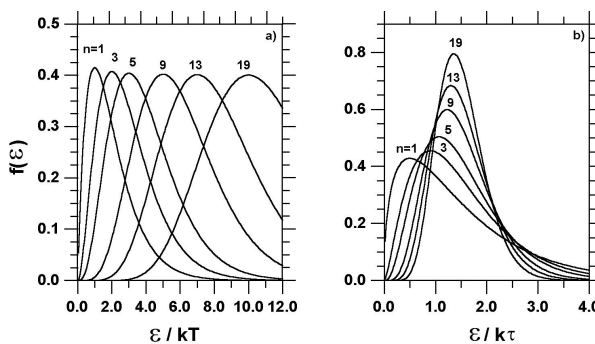
Parametrizovaná forma netermálnej distribučnej funkcie elektrónov sa nazýva power distribúcia a jej priebeh je znázornený na obr. 1. Relatívne odchýlky power distribúcie od maxwellovskej sa dajú ľahko modelovať pomocou voľného parametra  $n$  (Seely, Feldman a Doschek, 1987):

$$f(\mathcal{E})d\mathcal{E} = \mathcal{B}^n \left( \frac{m}{2\pi kT} \right)^{3/2} \left( \frac{\mathcal{E}}{kT} \right)^{(n-1)/2} \times \\ \times \exp \left( -\frac{\mathcal{E}}{kT} \right) \mathcal{E}^{1/2} d\mathcal{E}, \quad (1)$$

kde

$$\mathcal{B}^n = \frac{\pi^{1/2}}{2 \Gamma(n/2 + 1)}. \quad (2)$$

$\mathcal{B}^n$  je kalibračná konšstanta distribúcie,  $\mathcal{E}$  je energia elektrónov,  $m$  je hmotnosť elektrónu,  $k$  je Boltzmanova konštanta a  $T$  je teplota. Takáto distribúcia je silne nemaxwellovská pre veľké hodnoty parametra  $n$  a pre  $n = 1$  je zhodná s Maxwellovou. Stredná hodnota energie pre power distribúciu,  $\langle \mathcal{E} \rangle = (n/2 + 1)kT$ , je funkciou dvoch parametrov  $n$  a  $T$ .



Obrázok 1. Power distribúcia pre rôzne hodnoty  $n$  ako funkcia  $\mathcal{E}/kT$  (a) a ( $b$ ) ako funkcia  $\mathcal{E}/k\tau = 3\mathcal{E}/(n+2)kT$ . Pre  $n = 1$  dostaneme Maxwellovo rozdelenie. Stredná hodnota energie častic je rovnaká pre všetky rozdelenia na obr. 1b.

Dzifčáková (1998) preto zaviedla nový parameter, pseudo-teplotu  $\tau$ , ktorá je teplotou pre Maxwellovo rozdelenie, ktorého stredná energia sa rovná strednej energii power distribúcie:

$$\tau = \frac{n+2}{3} T. \quad (3)$$

Pseudo-teplota je vhodnejší parameter na popis ako teplota (obr. 1b).

Viac informácií o power distribúcií možno nájsť v prácach Hares a kol. (1979), Dzifčáková (1998, 2000) alebo Seely, Feldman a Doschek, (1987). Treba však zdôrazniť dve dôležité vlastnosti power distribúcie:

- Je ľahké porovnať vplyv power distribúcie s  $T = \text{konst.}$  na excitačnú a ionizačnú rovnováhu, pretože zmenou parameteru  $n$  zároveň meníme aj strednú hodnotu energie power distribúcie, ktorá je funkciou  $n$  a  $T$ . Ak však porovnávame zmeny pri konštantnej pseudo-teplote, potom je konštantná aj stredná energia distribúcie a môžeme sledovať iba vplyv tvaru distribučnej funkcie na jednotlivé procesy.
- $T$  v tomto prípade nie je tremodynamická teplota zo stavovej rovnice ideálneho plynu, ale na výpočet tlaku môžeme použiť  $\tau$  (Dzifčáková a Kulinová, 2001).

Z tohto hľadiska je dôležité si uvedomiť, čo  $T$  alebo  $\tau$  znamenajú vo výrazoch s power distribúciou.

### 3. MODEL

K vytvoreniu nášho modelu sme využili najmä dátá z práce Seely, Feldman a Doschek (1987). Títo autori zistili, že parameter  $n$  môže dosiahnuť hodnotu  $n = 17$  a maximálne hodnoty pseudo-teploty boli v intervale  $\log(\tau) = 7.3 - 7.5$  K. K modelovaniu sme ešte potrebovali poznáť časovú závislosť elektrónovej hustoty. Túto závislosť, spolu so strednou energiou elektrónov sme prevzali z práce Kato

Tabuľka 1. Zoznam najsilnejších čiar

č. čiary a ión	$\lambda$	prechod
1 $Fe XXV$	1.8504 Å	$1s^2 \ ^1S_0 - 1s2p \ ^1P_1$
2 $Fe XXV$	1.8554 Å	$1s^2 \ ^1S_0 - 1s2p \ ^3P_2$
3 $Fe XXV$	1.8595 Å	$1s^2 \ ^1S_0 - 1s2p \ ^3P_1$
4 $Fe XXV$	1.8682 Å	$1s^2 \ ^1S_0 - 1s2p \ ^3S_1$
5 $Fe XXIV$	1.8610 Å	$1s^2 2s \ ^2S_{1/2} -$ $- 1s2s(^3P)2p \ ^2P_{3/2}$
6 $Fe XXIII$	1.8704 Å	$2s^2 \ ^1S_0 - 1s2s^2 2p \ ^1P_1$
7 $Fe XXIV d$	1.8534 Å	$1s^2 3p \ ^2P_{3/2} -$ $- 1s2p(^1P)3p \ ^2D_{5/2}$
8 $Fe XXIV d$	1.8571 Å	$1s^2 2s \ ^2S_{1/2} -$ $- 1s2s(^1P)2p \ ^2P_{1/2}$
9 $Fe XXIV d$	1.8628 Å	$1s^2 2p \ ^2P_{3/2} - 1s2p^2 \ ^2P_{3/2}$
10 $Fe XXIV d$	1.8630 Å	$1s^2 2p \ ^2P_{1/2} - 1s2p^2 \ ^2D_{3/2}$
11 $Fe XXIV d$	1.8659 Å	$1s^2 2p \ ^2P_{3/2} - 1s2p^2 \ ^2D_{5/2}$
12 $Fe XXIII d$	1.8721 Å	$2s2p \ ^3P_1 - 1s2s2p^2 \ ^3D_1$
13 $Fe XXIII d$	1.8731 Å	$2s2p \ ^3P_1 - 1s2s2p^2 \ ^3D_2$
14 $Fe XXIII d$	1.8731 Å	$2s2p \ ^3P_2 - 1s2s(^4P)2p^2 \ ^3P_2$
15 $Fe XXIII d$	1.8754 Å	$2s2p \ ^3P_2 - 1s2s2p^2 \ ^3D_3$

a kol. (2000). Dáta boli súčasne získané za predpokladu Maxwellovho rozdelenia elektrónov, ale:

- V prvej aproximácii závisí čiarová emisivita v koróne na elektrónovej hustote ako  $n_e^2$  a pomer čiar je na hustote prakticky nezávislý. Preto nesprávna elektrónová hustota ovplyvňuje najmä celkovú intenzitu čiary, avšak pomer čiar je ovplyvnený len málo.
- Nemali sme k dispozícii žiadnu časovú závislosť elektrónovej hustoty plazmy v slnečnej erupcii získanú za predpokladu power distribúcie.

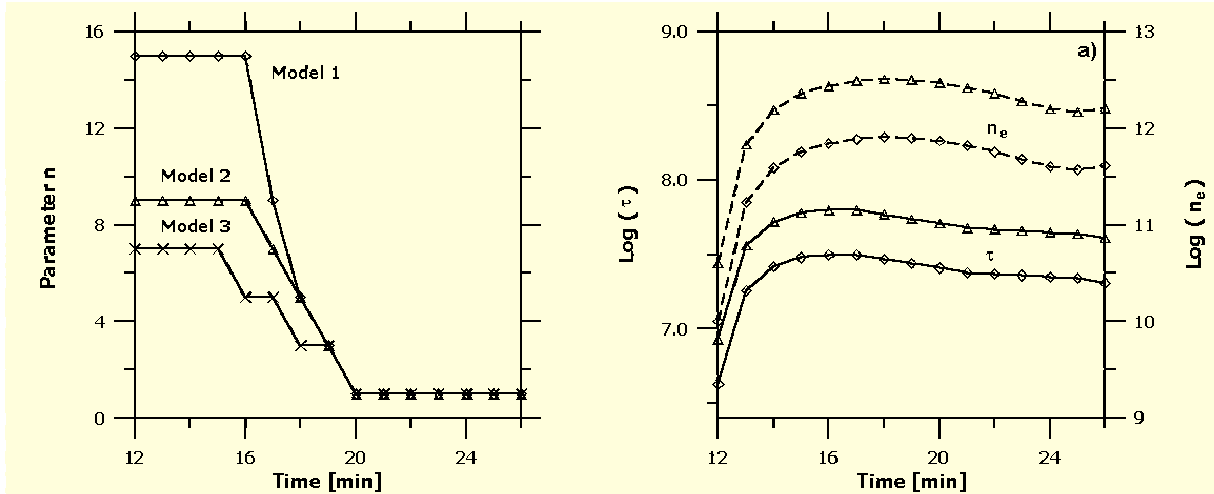
Na to, aby sme získali závislosť spektra na parametroch  $n$ ,  $\tau$  a  $n_e$ , sme vytvorili siet modelov (obr. 2). Maximálna hodnota  $n$  pre rôzne modely s rovnakou časovou závislosťou  $\tau$  a  $n_e$  je:  $n = 15$  pre Model 1,  $n = 9$  pre Model 2 a  $n = 7$  pre Model 3. Okrem toho sme použili aj dva rôzne časové priebehy pre  $\tau(t)$ ,  $\tau_2(t) = 2 \times \tau_1(t)$  a pre  $n_e(t)$ ,  $n_{e2}(t) = 4 \times n_{e1}(t)$ .

### 4. SYNTETICKÉ SPEKTRUM

Syntetické spektrum sme spočítali v rozsahu vlnových dĺžok 1.84 Å až 1.90 Å. V tejto oblasti dominujú spektrálne čiary  $Fe XXV$  a satelitné čiary  $Fe XXIV d$  a  $Fe XXIII d$ . Zodpovedajúca časť spektra bola pozorovaná napr. družicami SOLFLEX a YOHKOH. Najsilnejšie čiary sú v tabuľke č. 1.

Ionizačnú rovnováhu sme vzali z práce Dzifčáková (1998).

Detailný popis výpočtu rýchlosť elektrónovej excitácie a intenzít spektrálnych čiar pre netermálnu distribúciu možno nájsť v práci Dzifčáková a Kulinová (2001). Elektrónová excitačná rýchlosť pre ľubovoľnú distribučnú funkciu elektrónov  $f(\mathcal{E})$  sa dá



Obrázok 2. Časový priebeh parametra  $n$  power distribúcie pre Modely 1,2,3 (a) spolu s oboma časovými závislosťami pseudo-teploty  $\tau(t)$  a elektrónovej hustoty  $n_e(t)$  (b).

vyjadriť vzťahom

$$\begin{aligned} C_{ij} = < Q_{ij} v > = \frac{8\pi}{m^2} \int_0^\infty Q_{ij} f(\mathcal{E}) \mathcal{E}^{1/2} d\mathcal{E} = \\ = \frac{8\pi}{m^2} \int_{E_{ij}}^\infty \pi a_0^2 \frac{\Omega_{ij} I_H}{\omega_i \mathcal{E}_i} f(\mathcal{E}_i) \mathcal{E}_i^{1/2} d\mathcal{E}_i, \end{aligned} \quad (4)$$

kde  $Q_{ij}$  je účinný prierez pre excitáciu elektrónom,  $v$  je rýchlosť elektrónu,  $\Omega_{ij}$  je zrážková sila prechodu medzi stavmi  $i$  a  $j$ .  $\Omega_{ij}$  je súvisí s účinným prierezom vzťahom

$$Q_{ij} = \frac{\Omega_{ij}}{\omega_i \mathcal{E}_i} \pi a_0^2. \quad (5)$$

$E_{ij}$  je excitačná energia,  $\omega_i$  je štatistická váha počiatocnej hladiny,  $\mathcal{E}_i$  je energia dopadajúceho elektrónu,  $I_H$  je ionizačná energia vodíka a  $a_0$  je Bohrov polomer.

Objemová emisivita  $\varepsilon$  spektrálnej čiary je definovaná ako

$$\varepsilon_{ij} = \frac{hc}{\lambda_{ij}} A_{ij} N_i = \frac{hc}{\lambda_{ij}} A_{ij} \frac{N_i}{N_k} \frac{N_k}{N_x} A_x N_e, \quad (6)$$

kde  $A_{ij}$  je Einsteinov koeficient spontánnej emisie z hladiny  $i$  na hladinu  $j$ ,  $N_i$  je hustota iónov v  $i$ -tom stave,  $N_k/N_x$  je relatívna abundancia iónu  $k$  vzhľadom k prvku  $x$ ,  $A_x$  je relatívna abundancia prvku,  $N_e$  je elektrónová hustota. Relatívne obsadenie hladiny  $i$  v ióne  $k$ ,  $N_i/N_k$ , bolo vypočítané z excitačnej rovnováhy iónu  $k$  spoužitím databázy a softvéru CHIANTI, ktorý bol doplnený vlastnými programami.

Celková pozorovaná intenzita koronálnej spektrálnej čiary je integrál emisivity pozdĺž zorného lúča

$$I = \frac{hc}{4\pi \lambda_{ij}} A_{ij} A_x \int \frac{N_i}{N_k} \frac{N_k}{N_x} N_e dx. \quad (7)$$

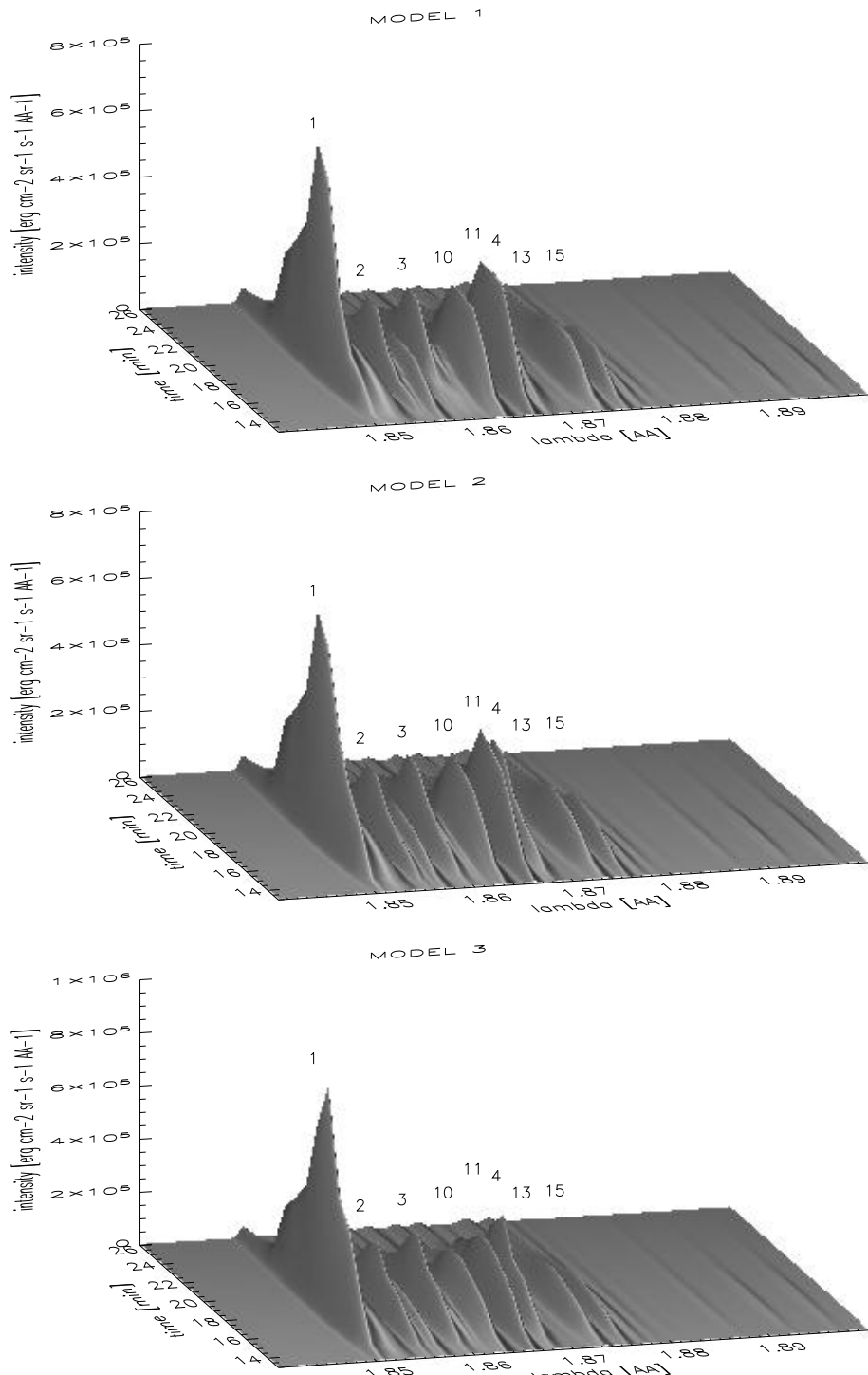
## 5. MODELOVÉ SPEKTRÁ

Syntetické spektrá pre rôzne erupčné modely sú na obr. 3. Modely 1, 2 a 3 majú rovnaký priebeh  $\tau$  a  $n_e$  a lišia sa iba časovým priebehom parametra  $n$ . Samotná erupcia sa začala o 05:12 UT (Kato a kol., 2000). Počas prvých dvoch minút dominujú v spektre satelitné čiary  $Fe XXIV d$  a  $Fe XXIII d$ . Neskôr sa dajú pozorovať čiary  $Fe XXV$ , z ktorých najintenzívnejšia je rezonančná čiara  $Fe XXV 1.8504 \text{ \AA}$ , a zároveň rastú aj intenzity satelitných čiar. Najsilnejšie satelitné čiary patria  $Fe XXIV d 1.8630 \text{ \AA}$  a  $1.8659 \text{ \AA}$ . Čiary dosahujú maximálnu hodnotu intenzity v čase  $t = 18 - 19$  minút. V tomto čase sú aj  $\tau$  a  $n_e$  okolo svojich maximálnych hodnôt a rozdelenie elektrónov sa mení na maxwellovské. Rozdiely v individuálnych modeloch (1,2 a 3) najlepšie vidieť napríklad v  $t = 16 \text{ min}$ , keď sa lišia iba parametrom  $n$ . Zreteľne vidieť, že s rastúcim  $n$  rastie aj intenzita satelitných čiar a klesá intenzita čiar  $Fe XXV$ . Okrem toho sú viditeľné aj malé rozdiely v relatívnych intenzitách  $Fe XXIV d$  a  $Fe XXIII d$  satelitných čiar.

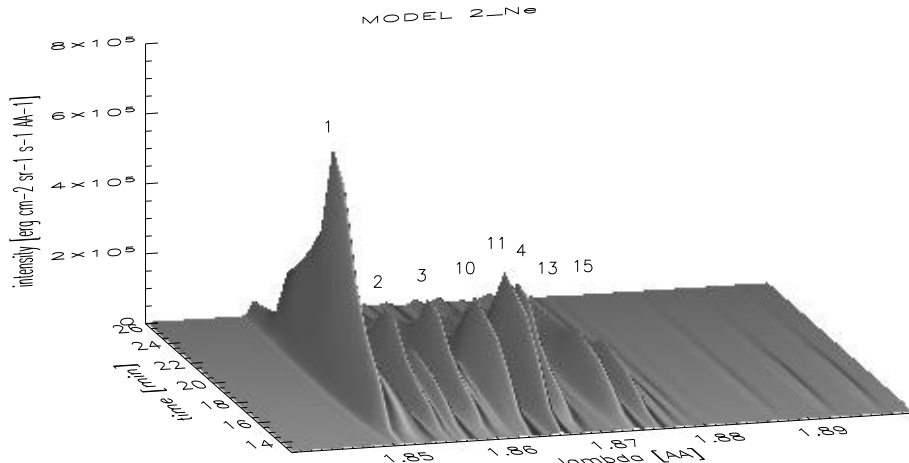
Aby

sme zistili ako ovplyvňuje spektrum elektrónová hustota, spočítali sme spektrum aj pre model 2, ale so 4-krát vyššou hodnotou elektrónovej hustoty. Obrázok 4 ukazuje spektrum (Model 2<sub>ne</sub>), ktoré bolo vypočítané s rovnakými parametrami ako Model 2, ale so 4-krát vyššou hodnotou elektrónovej hustoty. Ukazuje sa, že medzi modelmi 2 a 2<sub>ne</sub> nie je veľký rozdiel. Detailnejší rozbor ukázal mierne nižšie intenzity čiar  $Fe XXV$  vzhľadom k intenzitám satelitných čiar  $Fe XXIV d$  a  $Fe XXIII d$ . Tento príklad zároveň demonštruje fakt, že použitie časovej závislosti  $n_e$  získanej za predpokladu Maxwellovho rozdelenia nie je zdrojom veľkých chýb v našich výpočtoch.

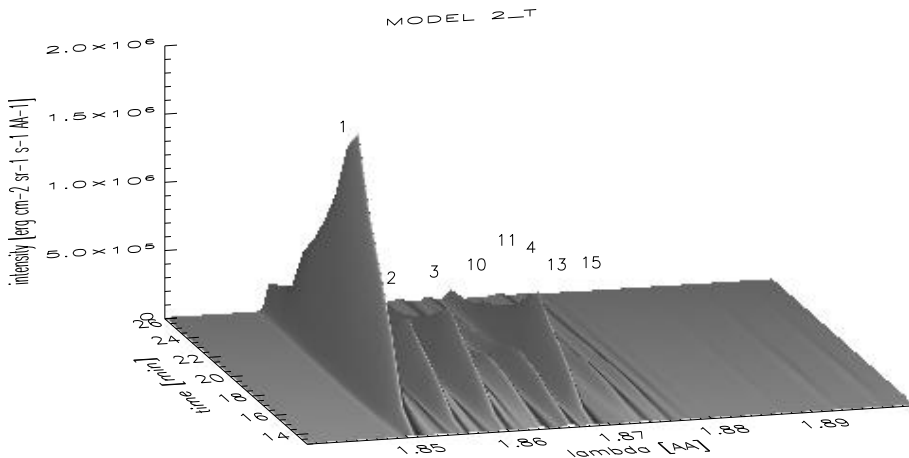
Zvýšenie  $\tau$  pri nezmenenom priebehu parametra  $n$  malo veľký vplyv na výsledné spektrum.



Obrázok 3. Časový vývoj spektra pre Model 1, 2 a 3 s  $\tau_1(t)$  a  $n_{e1}(t)$ .



Obrázok 4. Časová závislosť spektra pre Model 2<sub>ne</sub> so 4-krát vyššou hodnotou elektrónovej hustoty ako Model 2 na obr. 4.



Obrázok 5. Časová závislosť spektra pre Model 2<sub>T</sub> s 2-krát vyššou hodnotou pseudo-teplotou ako Model 2 na obr. 4.

Obrázok 5 ukazuje modifikáciu Modelu 2 na Model 2<sub>T</sub> s 2-krát vyššou pseudo-teplotou ako je v Modeli 2. Zreteľne tu vidíme nárast intenzity čiar Fe XXV a pokles intenzít satelitných čiar Fe XXIV d a Fe XXIII d a tiež zmeny v pomeroch intenzít satelitných čiar Fe XXIV d a Fe XXIII d. Takáto citlivosť relatívnej intenzity rezonančnej čiary Fe XXV a dvoch satelitných čiar Fe XXIV d na parametroch distribúcie bola Seelym, Feldmanom a Doschekom (1987) použitá na diagnostiku parametrov distribučnej funkcie.

## 6. ZÁVER

Vypočítali sme sieť modelov časovo závislého čiarového syntetického spektra iónov Fe v röntgnevej oblasti za predpokladu netermálnej, tzv. power distribúcie elektrónov. Zistili sme, že charakter spektra závisí hlavne na pseudo-teplete a tvare distribučnej funkcie elektrónov. Pomer intenzity satelitných čiar k intenzite dovolených čiar vzrastá s nárastom odchýlky distribučnej funkcie od Maxwellovej, pričom stredná hodnota energie rozde-

lenia zostáva konštantná. Zmena hodnoty strednej energie rozdelenia mení pomer intenzít dovolených čiar k intenzite satelitných čiar a zároveň s tým aj pomery rôznych satelitných čiar iným spôsobom. To umožňuje diagnostiku tvaru elektrónovej distribučnej funkcie. Vplyv elektrónovej hustoty na relatívnu intenzitu čiar je veľmi malý a nemá väzny dopad na diagnostiku.

## POĎAKOVANIE

Táto práca bola podporovaná grantom VEGA, No. 1/9168/02.

## LITERATÚRA

- Dzifčáková, E., 1998, Solar. Phys., 178, 317
- Dzifčáková, E., 2000, Solar. Phys., 196, 113
- Dzifčáková, E., Kulínová, A., 2001, Solar. Phys., 203, 53
- Gabriel, A. H., Phillips, K. J. H., 1979, Monthly Notices Royal Astron. Soc., 189, 319
- Hares, J. D., Kilkenney, J. D., Key, M. H., Lunney, J. G., 1979, Phys. Rev. Lett., 42, 1216
- Kato, T., Kato, M. and Shibata, K., 2000, Adv. Space Res., 25, 1781
- Seely, J. F., Feldman, U. and Doschek, G. A., 1987, Astrophys. J., 319, 541